



(12)发明专利申请

(10)申请公布号 CN 107976780 A

(43)申请公布日 2018.05.01

(21)申请号 201711151223.8

(22)申请日 2017.11.18

(71)申请人 瑞声科技(新加坡)有限公司

地址 新加坡宏茂桥65街10号通聚科技大楼  
1楼8号

(72)发明人 寺岡弘之 张磊 王燕妹 张扬

(74)专利代理机构 广东广和律师事务所 44298

代理人 陈巍巍

(51)Int.Cl.

G02B 13/00(2006.01)

G02B 13/06(2006.01)

G02B 13/18(2006.01)

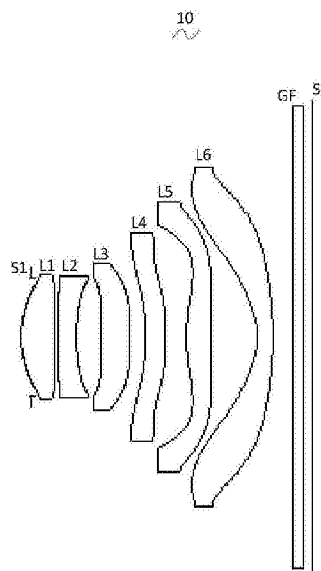
权利要求书2页 说明书15页 附图9页

(54)发明名称

摄像光学镜头

(57)摘要

本发明涉及光学镜头领域,公开了一种摄像光学镜头,该摄像光学镜头自物侧至像侧依序包含:第一透镜,第二透镜,第三透镜,第四透镜,第五透镜,以及第六透镜;所述第二透镜具有负屈折力,所述第三透镜具有正屈折力;且满足下列关系式: $0.1 \leq f1/f \leq 10$ ;  $1.7 \leq n6 \leq 2.2$ ;  $0.01 \leq d11/TTL \leq 0.2$ 。该摄像光学镜头能获得高成像性能的同时,获得低TTL。



1. 一种摄像光学镜头,其特征在于,所述摄像光学镜头,自物侧至像侧依序包含:第一透镜,第二透镜,第三透镜,第四透镜,第五透镜,以及第六透镜;所述第二透镜具有负屈折力,所述第三透镜具有正屈折力;

所述摄像光学镜头的焦距为 $f$ ,所述第一透镜的焦距为 $f_1$ ,所述第六透镜的折射率为 $n_6$ ,所述第六透镜的轴上厚度为 $d_{11}$ ,所述摄像光学镜头的光学总长为TTL,满足下列关系式:

$$0.1 \leq f_1/f \leq 10;$$

$$1.7 \leq n_6 \leq 2.2;$$

$$0.01 \leq d_{11}/TTL \leq 0.2。$$

2. 根据权利要求1所述的摄像光学镜头,其特征在于,所述第一透镜具有正屈折力,其物侧面于近轴为凸面,其像侧面于近轴为凹面;

所述第一透镜物侧面的曲率半径为 $R_1$ ,所述第一透镜像侧面的曲率半径为 $R_2$ ,以及所述第一透镜的轴上厚度为 $d_1$ ,且满足下列关系式:

$$-3.39 \leq (R_1+R_2)/(R_1-R_2) \leq -1.07;$$

$$0.27 \leq d_1 \leq 0.90。$$

3. 根据权利要求1所述的摄像光学镜头,其特征在于,所述第二透镜其物侧面于近轴为凸面,其像侧面于近轴为凹面;

所述摄像光学镜头的焦距为 $f$ ,所述第二透镜的焦距为 $f_2$ ,所述第二透镜物侧面的曲率半径为 $R_3$ ,所述第二透镜像侧面的曲率半径为 $R_4$ ,所述第二透镜的轴上厚度为 $d_3$ ,且满足下列关系式:

$$-4.57 \leq f_2/f \leq -1.45;$$

$$1.24 \leq (R_3+R_4)/(R_3-R_4) \leq 4.31;$$

$$0.15 \leq d_3 \leq 0.49。$$

4. 根据权利要求1所述的摄像光学镜头,其特征在于,所述第三透镜其像侧面于近轴处为凸面;

所述摄像光学镜头的焦距为 $f$ ,所述第三透镜的焦距为 $f_3$ ,所述第三透镜物侧面的曲率半径为 $R_5$ ,所述第三透镜像侧面的曲率半径为 $R_6$ ,所述第三透镜的轴上厚度为 $d_5$ ,且满足下列关系式:

$$1.30 \leq f_3/f \leq 4.32;$$

$$0.12 \leq (R_5+R_6)/(R_5-R_6) \leq 1.64;$$

$$0.24 \leq d_5 \leq 0.97。$$

5. 根据权利要求1所述的摄像光学镜头,其特征在于,所述第四透镜其物侧面于近轴为凹面,其像侧面于近轴为凸面;

所述摄像光学镜头的焦距为 $f$ ,所述第四透镜的焦距为 $f_4$ ,所述第四透镜物侧面的曲率半径为 $R_7$ ,所述第四透镜像侧面的曲率半径为 $R_8$ ,所述第四透镜的轴上厚度为 $d_7$ ,且满足下列关系式:

$$-11.26 \leq f_4/f \leq 8.82;$$

$$-9.45 \leq (R_7+R_8)/(R_7-R_8) \leq 9.13;$$

$$0.18 \leq d_7 \leq 0.98。$$

6. 根据权利要求1所述的摄像光学镜头,其特征在于,所述第五透镜具有正屈折力,其物侧面于近轴为凸面;

所述摄像光学镜头的焦距为 $f$ ,所述第五透镜的焦距为 $f_5$ ,所述第五透镜物侧面的曲率半径为 $R_9$ ,所述第五透镜像侧面的曲率半径为 $R_{10}$ ,所述第五透镜的轴上厚度为 $d_9$ ,且满足下列关系式:

$$0.55 \leq f_5/f \leq 2.11;$$

$$-2.18 \leq (R_9+R_{10}) / (R_9-R_{10}) \leq -0.59;$$

$$0.18 \leq d_9 \leq 0.66。$$

7. 根据权利要求1所述的摄像光学镜头,其特征在于,所述第六透镜具有负屈折力,其物侧面于近轴为凹面,其像侧面于近轴为凸面;

所述摄像光学镜头的焦距为 $f$ ,所述第六透镜的焦距为 $f_6$ ,所述第六透镜物侧面的曲率半径为 $R_{11}$ ,所述第六透镜像侧面的曲率半径为 $R_{12}$ ,所述第六透镜的轴上厚度为 $d_{11}$ ,且满足下列关系式:

$$-1.15 \leq f_6/f \leq -0.34;$$

$$-4.16 \leq (R_{11}+R_{12}) / (R_{11}-R_{12}) \leq -1.06;$$

$$0.14 \leq d_{11} \leq 0.60。$$

8. 根据权利要求1所述的摄像光学镜头,其特征在于,所述摄像光学镜头的焦距为 $f$ ,所述第一透镜与所述第二透镜的组合焦距为 $f_{12}$ ,且满足下列关系式:

$$0.61 \leq f_{12}/f \leq 2.14。$$

9. 根据权利要求1所述的摄像光学镜头,其特征在于,所述摄像光学镜头的光学总长TTL小于或等于5.72毫米。

10. 根据权利要求1所述的摄像光学镜头,其特征在于,所述摄像光学镜头的光圈F数小于或等于2.27。

## 摄像光学镜头

### 技术领域

[0001] 本发明涉及光学镜头领域,特别涉及一种适用于智能手机、数码相机等手提终端设备,以及监视器、PC镜头等摄像装置的摄像光学镜头。

### 背景技术

[0002] 近年来,随着智能手机的兴起,小型化摄影镜头的需求日渐提高,而一般摄影镜头的感光器件不外乎是感光耦合器件 (Charge Coupled Device, CCD) 或互补性氧化金属半导体器件 (Complementary Metal-Oxide Semiconductor Sensor, CMOS Sensor) 两种,且由于半导体制造工艺技术的精进,使得感光器件的像素尺寸缩小,再加上现今电子产品以功能佳且轻薄短小的外型为发展趋势,因此,具备良好成像品质的小型化摄像镜头俨然成为目前市场上的主流。为获得较佳的成像品质,传统搭载于手机相机的镜头多采用三片式或四片式透镜结构。并且,随着技术的发展以及用户多样化需求的增多,在感光器件的像素面积不断缩小,且系统对成像品质的要求不断提高的情况下,五片式、六片式、七片式透镜结构逐渐出现在镜头设计当中。迫切需求具有优秀的光学特征、超薄且色像差充分补正的广角摄像镜头。

### 发明内容

[0003] 针对上述问题,本发明的目的在于提供一种摄像光学镜头,能在获得高成像性能的同时,满足超薄化和广角化的要求。

[0004] 为解决上述技术问题,本发明的实施方式提供了一种摄像光学镜头,所述摄像光学镜头,自物侧至像侧依序包含:第一透镜,第二透镜,第三透镜,第四透镜,第五透镜,以及第六透镜;所述第二透镜具有负屈折力,所述第三透镜具有正屈折力;

[0005] 所述摄像光学镜头的焦距为 $f$ ,所述第一透镜的焦距为 $f_1$ ,所述第六透镜的折射率为 $n_6$ ,所述第六透镜的轴上厚度为 $d_{11}$ ,所述摄像光学镜头的光学总长为TTL,满足下列关系式:

[0006]  $0.1 \leq f_1/f \leq 10$ ;

[0007]  $1.7 \leq n_6 \leq 2.2$ ;

[0008]  $0.01 \leq d_{11}/TTL \leq 0.2$ 。

[0009] 本发明实施方式相对于现有技术而言,通过上述透镜的配置方式,利用在焦距、折射率、摄像光学镜头的光学总长、轴上厚度和曲率半径的数据上有特定关系的透镜的共同配合,使摄像光学镜头能在获得高成像性能的同时,满足超薄化和广角化的要求。

[0010] 优选的,所述第一透镜具有正屈折力,其物侧面于近轴为凸面,其像侧面于近轴为凹面;所述第一透镜物侧面的曲率半径为 $R_1$ ,所述第一透镜像侧面的曲率半径为 $R_2$ ,以及所述第一透镜的轴上厚度为 $d_1$ ,且满足下列关系式: $-3.39 \leq (R_1+R_2)/(R_1-R_2) \leq -1.07$ ;  $0.27 \leq d_1 \leq 0.90$ 。

[0011] 优选的,所述第二透镜其物侧面于近轴为凸面,其像侧面于近轴为凹面;所述摄像

光学镜头的焦距为 $f$ ,所述第二透镜的焦距为 $f_2$ ,所述第二透镜物侧面的曲率半径为 $R_3$ ,所述第二透镜像侧面的曲率半径为 $R_4$ ,所述第二透镜的轴上厚度为 $d_3$ ,且满足下列关系式: $-4.57 \leq f_2/f \leq -1.45$ ;  $1.24 \leq (R_3+R_4)/(R_3-R_4) \leq 4.31$ ;  $0.15 \leq d_3 \leq 0.49$ 。

[0012] 优选的,所述第三透镜其像侧面于近轴处为凸面;所述摄像光学镜头的焦距为 $f$ ,所述第三透镜的焦距为 $f_3$ ,所述第三透镜物侧面的曲率半径为 $R_5$ ,所述第三透镜像侧面的曲率半径为 $R_6$ ,所述第三透镜的轴上厚度为 $d_5$ ,且满足下列关系式: $1.30 \leq f_3/f \leq 4.32$ ;  $0.12 \leq (R_5+R_6)/(R_5-R_6) \leq 1.64$ ;  $0.24 \leq d_5 \leq 0.97$ 。

[0013] 优选的,所述第四透镜其物侧面于近轴为凹面,其像侧面于近轴为凸面;所述摄像光学镜头的焦距为 $f$ ,所述第四透镜的焦距为 $f_4$ ,所述第四透镜物侧面的曲率半径为 $R_7$ ,所述第四透镜像侧面的曲率半径为 $R_8$ ,所述第四透镜的轴上厚度为 $d_7$ ,且满足下列关系式: $-11.26 \leq f_4/f \leq 8.82$ ;  $-9.45 \leq (R_7+R_8)/(R_7-R_8) \leq 9.13$ ;  $0.18 \leq d_7 \leq 0.98$ 。

[0014] 优选的,所述第五透镜具有正屈折力,其物侧面于近轴为凸面;所述摄像光学镜头的焦距为 $f$ ,所述第五透镜的焦距为 $f_5$ ,所述第五透镜物侧面的曲率半径为 $R_9$ ,所述第五透镜像侧面的曲率半径为 $R_{10}$ ,所述第五透镜的轴上厚度为 $d_9$ ,且满足下列关系式: $0.55 \leq f_5/f \leq 2.11$ ;  $-2.18 \leq (R_9+R_{10})/(R_9-R_{10}) \leq -0.59$ ;  $0.18 \leq d_9 \leq 0.66$ 。

[0015] 优选的,所述第六透镜具有负屈折力,其物侧面于近轴为凹面,其像侧面于近轴为凸面;所述摄像光学镜头的焦距为 $f$ ,所述第六透镜的焦距为 $f_6$ ,所述第六透镜物侧面的曲率半径为 $R_{11}$ ,所述第六透镜像侧面的曲率半径为 $R_{12}$ ,所述第六透镜的轴上厚度为 $d_{11}$ ,且满足下列关系式: $-1.15 \leq f_6/f \leq -0.34$ ;  $-4.16 \leq (R_{11}+R_{12})/(R_{11}-R_{12}) \leq -1.06$ ;  $0.14 \leq d_{11} \leq 0.60$ 。

[0016] 优选的,所述摄像光学镜头的焦距为 $f$ ,所述第一透镜与所述第二透镜的组合焦距为 $f_{12}$ ,且满足下列关系式: $0.61 \leq f_{12}/f \leq 2.14$ 。

[0017] 优选的,所述摄像光学镜头的光学总长TTL小于或等于5.72毫米。

[0018] 优选的,所述摄像光学镜头的光圈F数小于或等于2.27。

[0019] 本发明的有益效果在于:根据本发明的摄像光学镜头具有优秀的光学特性,超薄,广角且色像差充分补正,尤其适用于由高像素用的CCD、CMOS等摄像元件构成的手机摄像镜头组件和WEB摄像镜头。

## 附图说明

[0020] 图1是本发明第一实施方式的摄像光学镜头的结构示意图;

[0021] 图2是图1所示摄像光学镜头的轴向像差示意图;

[0022] 图3是图1所示摄像光学镜头的倍率色差示意图;

[0023] 图4是图1所示摄像光学镜头的场曲及畸变示意图;

[0024] 图5是本发明第二实施方式的摄像光学镜头的结构示意图;

[0025] 图6是图5所示摄像光学镜头的轴向像差示意图;

[0026] 图7是图5所示摄像光学镜头的倍率色差示意图;

[0027] 图8是图5所示摄像光学镜头的场曲及畸变示意图;

[0028] 图9是本发明第三实施方式的摄像光学镜头的结构示意图;

[0029] 图10是图9所示摄像光学镜头的轴向像差示意图;

[0030] 图11是图9所示摄像光学镜头的倍率色差示意图；

[0031] 图12是图9所示摄像光学镜头的场曲及畸变示意图。

### 具体实施方式

[0032] 为使本发明的目的、技术方案和优点更加清楚，下面将结合附图对本发明的各实施方式进行详细的阐述。然而，本领域的普通技术人员可以理解，在本发明各实施方式中，为了使读者更好地理解本发明而提出了许多技术细节。但是，即使没有这些技术细节和基于以下各实施方式的种种变化和修改，也可以实现本发明所要求保护的技术方案。

[0033] (第一实施方式)

[0034] 参考附图，本发明提供了一种摄像光学镜头10。图1所示为本发明第一实施方式的摄像光学镜头10，该摄像光学镜头10包括六个透镜。具体的，所述摄像光学镜头10，由物侧至像侧依序包括：光圈S1、第一透镜L1、第二透镜L2、第三透镜L3、第四透镜L4、第五透镜L5以及第六透镜L6。第六透镜L6和像面Si之间可设置有光学过滤片(filter)GF等光学元件。

[0035] 第一透镜L1为塑料材质，第二透镜L2为塑料材质，第三透镜L3为塑料材质，第四透镜L4为塑料材质，第五透镜L5为塑料材质，第六透镜L6为玻璃材质。

[0036] 所述第二透镜L2具有负屈折力，所述第三透镜L3具有正屈折力；

[0037] 在此，定义整体摄像光学镜头10的焦距为f，所述第一透镜L1的焦距为f1， $0.1 \leq f1/f \leq 10$ ，规定了第一透镜L1的正屈折力。超过下限规定值时，虽然有利于镜头向超薄化发展，但是第一透镜L1的正屈折力会过强，难以补正像差等问题，同时不利于镜头向广角化发展。相反，超过上限规定值时，第一透镜的正屈折力会变过弱，镜头难以向超薄化发展。优选的，满足 $0.5 \leq f1/f \leq 5.5$ 。

[0038] 定义所述第六透镜L6的折射率为n6， $1.7 \leq n6 \leq 2.2$ ，规定了第六透镜L6的折射率，在此范围内更有利于向超薄化发展，同时利于修正像差。优选的，满足 $1.7 \leq n6 \leq 2.0$ 。

[0039] 定义所述第六透镜L6的轴上厚度为d11，摄像光学镜头的光学总长为TTL， $0.01 \leq d11/TTL \leq 0.2$ ，规定了第六透镜L6的轴上厚度与摄像光学镜头10的光学总长TTL的比值，有利于实现超薄化。优选的，满足 $0.03 \leq d11/TTL \leq 0.14$ 。

[0040] 当本发明所述摄像光学镜头10的焦距、各透镜的焦距、相关透镜的折射率、摄像光学镜头的光学总长、轴上厚度和曲率半径满足上述关系式时，可以使摄像光学镜头10具有高性能，且满足低TTL的设计需求。

[0041] 本实施方式中，第一透镜L1的物侧面于近轴处为凸面，像侧面于近轴处为凹面，具有正屈折力。

[0042] 第一透镜L1物侧面的曲率半径为R1，第一透镜L1像侧面的曲率半径为R2，满足下列关系式： $-3.39 \leq (R1+R2)/(R1-R2) \leq -1.07$ ，合理控制第一透镜的形状，使得第一透镜能够有效校正系统球差；优选的， $-2.12 \leq (R1+R2)/(R1-R2) \leq -1.34$ 。

[0043] 第一透镜L1的轴上厚度为d1，满足下列关系式： $0.27 \leq d1 \leq 0.90$ ，有利于实现超薄化。优选的， $0.43 \leq d1 \leq 0.72$ 。

[0044] 本实施方式中，第二透镜L2的物侧面于近轴处为凸面，像侧面于近轴处为凹面，具有负屈折力。

[0045] 整体摄像光学镜头10的焦距为f，第二透镜L2焦距为f2，满足下列关系式： $-4.57 \leq$

$f_2/f \leq -1.45$ , 通过将第二透镜L2的负光焦度控制在合理范围, 以合理而有效地平衡由具有正光焦度的第一透镜L1产生的球差以及系统的场曲量。优选的,  $-2.85 \leq f_2/f \leq -1.81$ 。

[0046] 第二透镜L2物侧面的曲率半径为R3, 第二透镜L2像侧面的曲率半径为R4, 满足下列关系式:  $1.24 \leq (R_3+R_4)/(R_3-R_4) \leq 4.31$ , 规定了第二透镜L2的形状, 在范围外时, 随着镜头向超薄广角化发展, 难以补正轴上色像差问题。优选的,  $1.98 \leq (R_3+R_4)/(R_3-R_4) \leq 3.45$ 。

[0047] 第二透镜L2的轴上厚度为d3, 满足下列关系式:  $0.15 \leq d_3 \leq 0.49$ , 有利于实现超薄化。优选的,  $0.24 \leq d_3 \leq 0.39$ 。

[0048] 本实施方式中, 第三透镜L3的像侧面于近轴处为凸面, 具有正屈折力。

[0049] 整体摄像光学镜头10的焦距为f, 第三透镜L3焦距f3, 满足下列关系式:  $1.30 \leq f_3/f \leq 4.32$ , 有利于系统获得良好的平衡场曲的能力, 以有效地提升像质。优选的,  $2.08 \leq f_3/f \leq 3.46$ 。

[0050] 第三透镜L3物侧面的曲率半径为R5, 第三透镜L3像侧面的曲率半径为R6, 满足下列关系式:  $0.12 \leq (R_5+R_6)/(R_5-R_6) \leq 1.64$ , 可有效控制第三透镜L3的形状, 有利于第三透镜L3成型, 并避免因第三透镜L3的表面曲率过大而导致成型不良与应力产生。优选的,  $0.19 \leq (R_5+R_6)/(R_5-R_6) \leq 1.31$ 。

[0051] 第三透镜L3的轴上厚度为d5, 满足下列关系式:  $0.24 \leq d_5 \leq 0.97$ , 有利于实现超薄化。优选的,  $0.39 \leq d_5 \leq 0.78$ 。

[0052] 本实施方式中, 第四透镜L4的物侧面于近轴处为凹面, 像侧面于近轴处为凸面。

[0053] 整体摄像光学镜头10的焦距为f, 第四透镜L4焦距f4, 满足下列关系式:  $-11.26 \leq f_4/f \leq 8.82$ , 通过光焦度的合理分配, 使得系统具有较佳的成像品质和较低的敏感性。优选的,  $-7.04 \leq f_4/f \leq 7.06$ 。

[0054] 第四透镜L4物侧面的曲率半径R7, 第四透镜L4像侧面的曲率半径R8, 满足下列关系式:  $-9.45 \leq (R_7+R_8)/(R_7-R_8) \leq 9.13$ , 规定的是第四透镜L4的形状, 在范围外时, 随着超薄广角化的发展, 很难补正轴外画角的像差等问题。优选的,  $-5.91 \leq (R_7+R_8)/(R_7-R_8) \leq 7.31$ 。

[0055] 第四透镜L4的轴上厚度为d7, 满足下列关系式:  $0.18 \leq d_7 \leq 0.98$ , 有利于实现超薄化。优选的,  $0.28 \leq d_7 \leq 0.78$ 。

[0056] 本实施方式中, 第五透镜L5的物侧面于近轴处为凸面, 具有正屈折力。

[0057] 整体摄像光学镜头10的焦距为f, 第五透镜L5焦距为f5, 满足下列关系式:  $0.55 \leq f_5/f \leq 2.11$ , 对第五透镜L5的限定可有效的使得摄像镜头的光线角度平缓, 降低公差敏感度。优选的,  $0.87 \leq f_5/f \leq 1.69$ 。

[0058] 第五透镜L5物侧面的曲率半径为R9, 第五透镜L5像侧面的曲率半径为R10, 满足下列关系式:  $-2.18 \leq (R_9+R_{10})/(R_9-R_{10}) \leq -0.59$ , 规定的是第五透镜L5的形状, 在条件范围外时, 随着超薄广角化发展, 很难补正轴外画角的像差等问题。优选的,  $-1.36 \leq (R_9+R_{10})/(R_9-R_{10}) \leq -0.74$ 。

[0059] 第五透镜L5的轴上厚度为d9, 满足下列关系式:  $0.18 \leq d_9 \leq 0.66$ , 有利于实现超薄化。优选的,  $0.30 \leq d_9 \leq 0.53$ 。

[0060] 本实施方式中, 第六透镜L6的物侧面于近轴处为凹面, 像侧面于近轴处为凸面, 具有负屈折力。

[0061] 整体摄像光学镜头10的焦距为 $f$ ,第六透镜L6焦距 $f_6$ ,满足下列关系式: $-1.15 \leq f_6/f \leq -0.34$ ,通过光焦度的合理分配,使得系统具有较佳的成像品质和较低的敏感性。优选的, $-0.72 \leq f_6/f \leq -0.42$ 。

[0062] 第六透镜L6物侧面的曲率半径为 $R_{11}$ ,第六透镜L6像侧面的曲率半径为 $R_{12}$ ,满足下列关系式: $-4.16 \leq (R_{11}+R_{12}) / (R_{11}-R_{12}) \leq -1.06$ ,规定的是第六透镜L6的形状,在条件范围外时,随着超薄广角化发展,很难补正轴外画角的像差等问题。优选的, $-2.60 \leq (R_{11}+R_{12}) / (R_{11}-R_{12}) \leq -1.33$ 。

[0063] 第六透镜L6的轴上厚度为 $d_{11}$ ,满足下列关系式: $0.14 \leq d_{11} \leq 0.60$ ,有利于实现超薄化。优选的, $0.22 \leq d_{11} \leq 0.48$ 。

[0064] 本实施例中,所述摄像光学镜头的焦距为 $f$ ,所述第一透镜与所述第二透镜的组合焦距为 $f_{12}$ ,且满足下列关系式: $0.61 \leq f_{12}/f \leq 2.14$ 。借此,可消除摄像光学镜头的像差与歪曲,且可压制摄像光学镜头后焦距,维持影像镜片系统组小型化。优选的, $0.98 \leq f_{12}/f \leq 1.71$ 。

[0065] 本实施方式中,摄像光学镜头10的光学总长TTL小于或等于5.72毫米,有利于实现超薄化。优选的,摄像光学镜头10的光学总长TTL小于或等于5.46毫米。

[0066] 本实施方式中,摄像光学镜头10的光圈F数小于或等于2.27。大光圈,成像性能好。优选的,摄像光学镜头10的光圈F数小于或等于2.22。

[0067] 如此设计,能够使得整体摄像光学镜头10的光学总长TTL尽量变短,维持小型化的特性。

[0068] 下面将用实例进行说明本发明的摄像光学镜头10。各实例中所记载的符号如下所示。距离、半径与中心厚度的单位为mm。

[0069] TTL:光学长度(第1透镜L1的物侧面到成像面的轴上距离);

[0070] 优选的,所述透镜的物侧面和/或像侧面上还可以设置有反曲点和/或驻点,以满足高品质的成像需求,具体的可实施方案,参下所述。

[0071] 以下示出了依据本发明第一实施方式的摄像光学镜头10的设计数据,焦距、距离、半径与中心厚度的单位为mm。

[0072] 表1、表2示出本发明第一实施方式的摄像光学镜头10的设计数据。

[0073] 【表1】



[0074]

	R	d		nd		v d	
S1	$\infty$	d0=	-0.200				
R1	1.713	d1=	0.591	nd1	1.5439	v 1	55.95
R2	7.372	d2=	0.067				
R3	6.793	d3=	0.328	nd2	1.6448	v 2	22.44
R4	3.234	d4=	0.450				
R5	-150.025	d5=	0.513	nd3	1.5439	v 3	55.95
R6	-6.838	d6=	0.272				
R7	-5.327	d7=	0.355	nd4	1.6355	v 4	23.97
R8	-9.325	d8=	0.379				
R9	2.866	d9=	0.442	nd5	1.5352	v 5	56.12
R10	-46.533	d10=	0.828				
R11	-1.390	d11=	0.276	nd6	1.7130	v 6	53.87
R12	-5.898	d12=	0.350				
R13	$\infty$	d13=	0.210	ndg	1.5168	v g	64.17
R14	$\infty$	d14=	0.140				

[0075] 其中,各符号的含义如下。

[0076] S1:光圈;

[0077] R:光学面的曲率半径、透镜时为中心曲率半径;

[0078] R1:第一透镜L1的物侧面的曲率半径;

[0079] R2:第一透镜L1的像侧面的曲率半径;

[0080] R3:第二透镜L2的物侧面的曲率半径;

[0081] R4:第二透镜L2的像侧面的曲率半径;

[0082] R5:第三透镜L3的物侧面的曲率半径;

[0083] R6:第三透镜L3的像侧面的曲率半径;

[0084] R7:第四透镜L4的物侧面的曲率半径;

[0085] R8:第四透镜L4的像侧面的曲率半径;

[0086] R9:第五透镜L5的物侧面的曲率半径;

[0087] R10:第五透镜L5的像侧面的曲率半径;

[0088] R11:第六透镜L6的物侧面的曲率半径;

[0089] R12:第六透镜L6的像侧面的曲率半径;

[0090] R13:光学过滤片GF的物侧面的曲率半径;

[0091] R14:光学过滤片GF的像侧面的曲率半径;

[0092] d:透镜的轴上厚度与透镜之间的轴上距离;

[0093] d0:光圈S1到第一透镜L1的物侧面的轴上距离;

[0094] d1:第一透镜L1的轴上厚度;

[0095] d2:第一透镜L1的像侧面到第二透镜L2的物侧面的轴上距离;

[0096] d3:第二透镜L2的轴上厚度;

[0097] d4:第二透镜L2的像侧面到第三透镜L3的物侧面的轴上距离;

[0098] d5:第三透镜L3的轴上厚度;

- [0099] d6:第三透镜L3的像侧面到第四透镜L4的物侧面的轴上距离;
- [0100] d7:第四透镜L4的轴上厚度;
- [0101] d8:第四透镜L4的像侧面到第五透镜L5的物侧面的轴上距离;
- [0102] d9:第五透镜L5的轴上厚度;
- [0103] d10:第五透镜L5的像侧面到第六透镜L6的物侧面的轴上距离;
- [0104] d11:第六透镜L6的轴上厚度;
- [0105] d12:第六透镜L6的像侧面到光学过滤片GF的物侧面的轴上距离;
- [0106] d13:光学过滤片GF的轴上厚度;
- [0107] d14:光学过滤片GF的像侧面到像面的轴上距离;
- [0108] nd:d线的折射率;
- [0109] nd1:第一透镜L1的d线的折射率;
- [0110] nd2:第二透镜L2的d线的折射率;
- [0111] nd3:第三透镜L3的d线的折射率;
- [0112] nd4:第四透镜L4的d线的折射率;
- [0113] nd5:第五透镜L5的d线的折射率;
- [0114] nd6:第六透镜L6的d线的折射率;
- [0115] ndg:光学过滤片GF的d线的折射率;
- [0116] vd:阿贝数;
- [0117] v1:第一透镜L1的阿贝数;
- [0118] v2:第二透镜L2的阿贝数;
- [0119] v3:第三透镜L3的阿贝数;
- [0120] v4:第四透镜L4的阿贝数;
- [0121] v5:第五透镜L5的阿贝数;
- [0122] v6:第六透镜L6的阿贝数;
- [0123] vg:光学过滤片GF的阿贝数。
- [0124] 表2示出本发明第一实施方式的摄像光学镜头10中各透镜的非球面数据。
- [0125] **【表2】**

[0126]

	圆锥系数	非球面系数						
	k	A4	A6	A8	A10	A12	A14	A16
R1	-2.8592E-01	5.1883E-03	8.4534E-04	-1.0723E-02	5.2957E-03	-1.0306E-02	3.3319E-03	-4.9415E-03
R2	1.0672E+01	-1.3809E-01	1.0200E-01	-3.2722E-02	-3.4945E-02	8.0205E-03	6.7722E-03	-2.6136E-03
R3	2.3716E+01	-1.5844E-01	1.7071E-01	-5.9820E-02	-2.3704E-02	9.5151E-03	1.3357E-02	-3.3064E-03
R4	5.4172E+00	-4.6361E-02	8.0437E-02	-2.5747E-02	1.5441E-02	-3.3768E-02	4.4662E-02	-1.6780E-02
R5	0.0000E+00	-7.4401E-02	-1.4146E-02	-1.3275E-02	-1.8401E-02	2.4606E-02	-2.5697E-02	1.5551E-02
R6	-6.3599E+00	-7.0277E-02	-1.9604E-02	3.4523E-03	2.5951E-03	-1.3926E-02	9.4235E-03	-9.6196E-04
R7	-5.4237E+01	-1.2076E-01	7.1851E-02	-1.4057E-02	-2.0996E-04	2.4784E-03	-1.2793E-03	1.6633E-04
R8	1.0226E+00	-1.2253E-01	6.0471E-02	-7.7593E-04	-2.0674E-03	-3.1810E-04	1.1129E-04	-3.0809E-06
R9	-2.1848E+00	-6.3710E-02	1.7843E-03	-4.8502E-04	-9.6903E-04	5.9277E-04	-1.8946E-04	2.3080E-05
R10	0.0000E+00	3.2513E-02	-3.2153E-02	9.0373E-03	-1.5364E-03	1.8029E-04	-1.5660E-05	8.5424E-07
R11	-1.7421E+00	2.2194E-02	-1.5711E-02	5.8145E-03	-9.9072E-04	8.9603E-05	-4.2322E-06	8.4710E-08
R12	-2.3140E+01	4.4143E-03	-8.3799E-03	2.6468E-03	-5.1160E-04	5.2776E-05	-2.6506E-06	5.9948E-08

[0127] 其中,k是圆锥系数,A4、A6、A8、A10、A12、A14、A16是非球面系数。

[0128] IH: 像高

$$[0129] \quad y = (x^2/R) / [1 + \{1 - (k+1)(x^2/R^2)\}^{1/2}] + A4x^4 + A6x^6 + A8x^8 + A10x^{10} + A12x^{12} + A14x^{14} + A16x^{16} \quad (1)$$

[0130] 为方便起见,各个透镜面的非球面使用上述公式(1)中所示的非球面。但是,本发明不限于该公式(1)表示的非球面多项式形式。

[0131] 表3、表4示出本发明第一实施方式的摄像光学镜头10中各透镜的反曲点以及驻点设计数据。其中,P1R1、P1R2分别代表第一透镜L1的物侧面和像侧面,P2R1、P2R2分别代表第二透镜L2的物侧面和像侧面,P3R1、P3R2分别代表第三透镜L3的物侧面和像侧面,P4R1、P4R2分别代表第四透镜L4的物侧面和像侧面,P5R1、P5R2分别代表第五透镜L5的物侧面和像侧面,P6R1、P6R2分别代表第六透镜L6的物侧面和像侧面。“反曲点位置”栏位对应数据为各透镜表面所设置的反曲点到摄像光学镜头10光轴的垂直距离。“驻点位置”栏位对应数据为各透镜表面所设置的驻点到摄像光学镜头10光轴的垂直距离。

[0132] 【表3】

[0133]

	反曲点个数	反曲点位置1	反曲点位置2	反曲点位置3
P1R1	1	0.925		
P1R2	1	0.325		
P2R1	2	0.355	0.605	
P2R2	0			
P3R1	0			
P3R2	1	1.205		
P4R1	2	1.005	1.395	
P4R2	2	1.015	1.585	
P5R1	1	0.655		
P5R2	3	0.265	0.675	2.195

P6R1	1	1.555	
P6R2	1	2.595	

[0134] 【表4】

[0135]

	驻点个数	驻点位置1	驻点位置2
P1R1	0		
P1R2	1	0.615	
P2R1	0		
P2R2	0		
P3R1	0		
P3R2	0		
P4R1	0		
P4R2	2	1.535	1.585
P5R1	1	1.125	
P5R2	2	0.495	0.785
P6R1	1	2.615	
P6R2	1	2.945	

[0136] 图2、图3分别示出了波长为486nm、588nm和656nm的光经过第一实施方式的摄像光学镜头10后的轴向像差以及倍率色差示意图。图4则示出了,波长为588nm的光经过第一实施方式的摄像光学镜头10后的场曲及畸变示意图,图4的场曲S是弧矢方向的场曲,T是子午方向的场曲。

[0137] 后出现的表13示出各实例1、2、3中各种数值与条件式中已规定的参数所对应的值。

[0138] 如表13所示,第一实施方式满足各条件式。

[0139] 在本实施方式中,所述摄像光学镜头的入瞳直径为2.077mm,全视场像高为3.928mm,对角线方向的视场角为 $80.73^\circ$ ,广角、超薄,其轴上、轴外色像差充分补正,且具有优秀的光学特征。

[0140] (第二实施方式)

[0141] 第二实施方式与第一实施方式基本相同,符号含义与第一实施方式相同,以下只列出不同点。

[0142] 表5、表6示出本发明第二实施方式的摄像光学镜头20的设计数据。

[0143] 【表5】

[0144]

	R	d		nd		v d	
S1	$\infty$	d0=	-0.200				
R1	1.733	d1=	0.533	nd1	1.5439	v 1	55.95
R2	6.715	d2=	0.038				
R3	8.479	d3=	0.304	nd2	1.6448	v 2	22.44
R4	3.598	d4=	0.383				
R5	16.032	d5=	0.646	nd3	1.5439	v 3	55.95
R6	-9.872	d6=	0.260				
R7	-7.194	d7=	0.654	nd4	1.6355	v 4	23.97
R8	-5.164	d8=	0.204				
R9	3.145	d9=	0.375	nd5	1.5352	v 5	56.12
R10	73.945	d10=	0.802				
R11	-1.207	d11=	0.302	nd6	1.9020	v 6	25.10
R12	-3.438	d12=	0.350				
R13	$\infty$	d13=	0.210	ndg	1.5168	v g	64.17
R14	$\infty$	d14=	0.138				

[0145] 表6示出本发明第二实施方式的摄像光学镜头20中各透镜的非球面数据。

[0146] 【表6】

[0147]

	圆锥系数	非球面系数						
	k	A4	A6	A8	A10	A12	A14	A16
R1	-4.6826E-01	-1.1679E-03	6.7555E-03	-2.0528E-02	-1.0195E-02	-1.6852E-02	6.3686E-03	-3.1363E-03
R2	-3.4168E+01	-1.5616E-01	9.8730E-02	-3.6429E-02	-2.9954E-02	1.4145E-02	3.4992E-03	-4.7623E-03
R3	3.1628E+01	-1.5117E+01	1.6724E-01	-5.3384E-02	-1.5785E-02	2.1983E-02	2.1787E-02	-1.6965E-02
R4	6.4104E+00	-2.5174E-02	8.9204E-02	-5.8142E-02	6.9578E-03	-4.6698E-03	7.3941E-02	-4.4796E-02
R5	0.0000E+00	-7.2616E-02	-1.0291E-02	-2.4327E-02	-2.6957E-02	2.7675E-02	-1.5265E-02	2.0431E-02
R6	-9.3773E+00	-7.2366E-02	-1.3944E-02	4.3033E-03	3.4508E-03	-1.3792E-02	9.6527E-03	-8.6509E-04
R7	-2.1111E+02	-1.1587E-01	7.1014E-02	-1.4538E-02	-2.6597E-04	2.4693E-03	-1.2608E-03	1.7979E-04
R8	1.3072E+00	-1.2497E-01	6.0405E-02	-7.6357E-04	-2.0752E-03	-3.1928E-04	1.0975E-04	-2.8546E-06
R9	-1.4537E+01	-6.5800E-02	6.6177E-03	-9.0556E-04	-9.9275E-04	5.9083E-04	-1.8835E-04	2.3871E-05
R10	0.0000E+00	2.3226E-02	-3.2416E-02	9.3208E-03	-1.5456E-03	1.7113E-04	-1.8182E-05	2.3914E-07
R11	-1.9678E+00	1.9053E-02	-1.6491E-02	5.7120E-03	-9.9629E-04	9.0792E-05	-3.9910E-06	1.0775E-07
R12	-1.8850E+01	4.1737E-03	-8.1335E-03	2.6949E-03	-5.0724E-04	5.3022E-05	-2.6628E-06	5.5989E-08

[0148] 表7、表8示出本发明第二实施方式的摄像光学镜头20中各透镜的反曲点以及驻点设计数据。

[0149] 【表7】

[0150]

	反曲点个数	反曲点位置1	反曲点位置2
P1R1	1	0.825	
P1R2	1	0.295	
P2R1	2	0.305	0.595
P2R2	0		

P3R1	2	0.265	975
P3R2	1	1.145	
P4R1	2	0.985	1.435
P4R2	2	1.075	1.545
P5R1	2	0.525	1.905
P5R2	1	0.635	
P6R1	1	1.895	
P6R2	1	2.325	

[0151] 【表8】

[0152]

	驻点个数	驻点位置1
P1R1	0	
P1R2	1	0.525
P2R1	0	
P2R2	0	
P3R1	1	0.445
P3R2	0	
P4R1	0	
P4R2	0	
P5R1	1	0.945
P5R2	1	0.875
P6R1	0	
P6R2	0	

[0153] 图6、图7分别示出了波长为486nm、588nm和656nm的光经过第二实施方式的摄像光学镜头20后的轴向像差以及倍率色差示意图。图8则示出了,波长为588nm的光经过第二实施方式的摄像光学镜头20后的场曲及畸变示意图。

[0154] 如表13所示,第二实施方式满足各条件式。

[0155] 在本实施方式中,所述摄像光学镜头的入瞳直径为1.978mm,全视场像高为3.928mm,对角线方向的视场角为83.41°,广角、超薄,其轴上、轴外色像差充分补正,且具有优秀的光学特征。

[0156] (第三实施方式)

[0157] 第三实施方式与第一实施方式基本相同,符号含义与第一实施方式相同,以下只列出不同点。

[0158] 表9、表10示出本发明第三实施方式的摄像光学镜头30的设计数据。

[0159] 【表9】

[0160]

	R	d		nd		v d	
S1	$\infty$	d0=	-0.250				
R1	1.716	d1=	0.635	nd1	1.5439	v 1	55.95
R2	39.446	d2=	0.053				
R3	17.168	d3=	0.199	nd2	1.6448	v 2	22.44
R4	3.799	d4=	0.593				
R5	10.577	d5=	0.162	nd3	1.7410	v 3	52.64
R6	15.193	d6=	0.284				
R7	-5.699	d7=	0.410	nd4	1.6355	v 4	23.97
R8	-12.975	d8=	0.390				
R9	3.319	d9=	0.699	nd5	1.5352	v 5	56.12
R10	-9.833	d10=	0.727				
R11	-1.278	d11=	0.250	nd6	1.5352	v 6	56.12
R12	-6.484	d12=	0.350				
R13	$\infty$	d13=	0.210	ndg	1.5168	v g	64.17
R14	$\infty$	d14=	0.240				

[0161] 表10示出本发明第三实施方式的摄像光学镜头30中各透镜的非球面数据。

[0162] 【表10】

[0163]

	圆锥系数	非球面系数						
	k	A4	A6	A8	A10	A12	A14	A16
R1	-2.8155E-01	6.0791E-03	6.6615E-04	-1.0337E-02	5.5799E-03	-9.4014E-03	3.5395E-03	-4.9451E-03
R2	1.1047E+01	-1.3753E-01	1.0111E-01	-3.2479E-02	-3.4414E-02	8.3596E-03	6.9325E-03	-2.7262E-03
R3	2.3069E+01	-1.5871E-01	1.7062E-01	-6.0507E-02	-2.4004E-02	9.5728E-03	1.2143E-02	-2.4605E-03
R4	5.4727E+00	-4.5145E-02	8.0664E-02	-2.6317E-02	1.5445E-02	-3.4210E-02	4.4517E-02	-1.6299E-02
R5	0.0000E+00	-7.3637E-02	-1.3108E-02	-1.1442E-02	-1.7175E-02	2.5223E-02	-2.5783E-02	1.5635E-02
R6	-4.6802E+00	-6.9658E-02	-1.7293E-02	3.2732E-03	2.2765E-03	-1.3898E-02	9.6331E-03	-7.5127E-04
R7	-5.8820E+01	-1.2119E-01	7.1281E-02	-1.4141E-02	-2.1204E-04	2.4900E-03	-1.2715E-03	1.6989E-04
R8	-2.6296E+00	-1.2229E-01	6.0593E-02	-7.9034E-04	-2.0759E-03	-3.1898E-04	1.1208E-04	-2.3227E-06
R9	-2.1056E+00	-6.3420E-02	1.5621E-03	-4.8842E-04	-9.6977E-04	5.9715E-04	-1.8983E-04	2.2491E-05
R10	0.0000E+00	3.1048E-02	-3.2396E-02	9.0264E-03	-1.5378E-03	1.8012E-04	-1.5666E-05	8.6152E-07
R11	-1.7403E+00	2.2241E-02	-1.5703E-02	5.8151E-03	-9.9066E-04	8.9604E-05	-4.2339E-06	8.4077E-08
R12	-3.3561E+01	4.1926E-03	-8.4129E-03	2.6441E-03	-5.1180E-04	5.2762E-05	-2.6516E-06	5.9833E-08

[0164] 表11、表12示出本发明第三实施方式的摄像光学镜头30中各透镜的反曲点以及驻点设计数据。

[0165] 【表11】

[0166]

	反曲点个数	反曲点位置 1	反曲点位置 2	反曲点位置 3
--	-------	---------	---------	---------

[0167]	P1R1	1	0.945		
	P1R2	1	0.335		
	P2R1	2	0.365	595	
	P2R2	0			
	P3R1	0			
	P3R2	1	1.175		
	P4R1	2	1.015	1.405	
	P4R2	2	1.015	1.605	
	P5R1	1	0.665		
	P5R2	3	0.215	0.665	2.225
	P6R1	1	1.555		
	P6R2	1	2.625		

[0168] 【表12】

[0169]

	驻点个数	驻点位置1	驻点位置2
P1R1	0		
P1R2	1	0.645	
P2R1	0		
P2R2	0		
P3R1	0		
P3R2	0		
P4R1	0		
P4R2	2	1.525	1.665
P5R1	1	1.135	
P5R2	2	0.395	0.815
P6R1	1	2.615	
P6R2	0		

[0170] 图10、图11分别示出了波长为486nm、588nm和656nm的光经过第三实施方式的摄像光学镜头30后的轴向像差以及倍率色差示意图。图12则示出了,波长为588nm的光经过第三实施方式的摄像光学镜头30后的场曲及畸变示意图。

[0171] 以下表13按照上述条件式列出了本实施方式中对应各条件式的数值。显然,本实施方式的摄像光学系统满足上述的条件式。

[0172] 在本实施方式中,所述摄像光学镜头的入瞳直径为2.093mm,全视场像高为3.928mm,对角线方向的视场角为 $80.34^\circ$ ,广角、超薄,其轴上、轴外色像差充分补正,且具有优秀的光学特征。

[0173] 【表13】



[0174]

参数及条件式	实施例 1	实施例 2	实施例 3
f	4.569	4.353	4.604
f1	3.959	4.137	3.961
f2	-9.933	-9.935	-10.027
f3	13.157	11.333	13.015
f4	-20.251	25.595	-25.922
f5	5.061	6.127	5.036
f6	-2.618	-2.204	-2.594
f12	5.685	6.215	5.661
$(R1+R2)/(R1-R2)$	-1.606	-1.696	-1.637
$(R3+R4)/(R3-R4)$	2.818	2.474	2.875
$(R5+R6)/(R5-R6)$	1.096	0.238	1.082
$(R7+R8)/(R7-R8)$	-3.665	6.088	-4.727
$(R9+R10)/(R9-R10)$	-0.884	-1.089	-0.919
$(R11+R12)/(R11-R12)$	-1.617	-2.082	-1.592
f1/f	0.866	0.951	0.860
f2/f	-2.174	-2.283	-2.178
f3/f	2.880	2.604	2.827
f4/f	-4.433	5.880	-5.630
f5/f	1.108	1.408	1.094
f6/f	-0.573	-0.506	-0.563
f12/f	1.244	1.428	1.230
d1	0.591	0.533	0.600
d3	0.328	0.304	0.319
d5	0.513	0.646	0.486
d7	0.355	0.654	0.353
d9	0.442	0.375	0.369
d11	0.276	0.302	0.403
Fno	2.200	2.200	2.200
TTL	5.200	5.201	5.201
d1/TTL	0.114	0.103	0.115
d3/TTL	0.063	0.058	0.061
d5/TTL	0.099	0.124	0.093
d7/TTL	0.068	0.126	0.068

[0175]	d9/TTL	0.085	0.072	0.071
	d11/TTL	0.053	0.058	0.078
	n1	1.5439	1.5439	1.5439
	n2	1.6448	1.6448	1.6448
	n3	1.5439	1.5439	1.5439
	n4	1.6355	1.6355	1.6355
	n5	1.5352	1.5352	1.5352
	n6	1.7130	1.9020	1.7410
	v1	55.9524	55.9524	55.9524
	v2	22.4361	22.4361	22.4361
	v3	55.9524	55.9524	55.9524
	v4	23.9718	23.9718	23.9718
	v5	56.1153	56.1153	56.1153
	v6	53.8671	25.1014	52.6365

[0176] 本领域的普通技术人员可以理解,上述各实施方式是实现本发明的具体实施方式,而在实际应用中,可以在形式上和细节上对其作各种改变,而不偏离本发明的精神和范围。

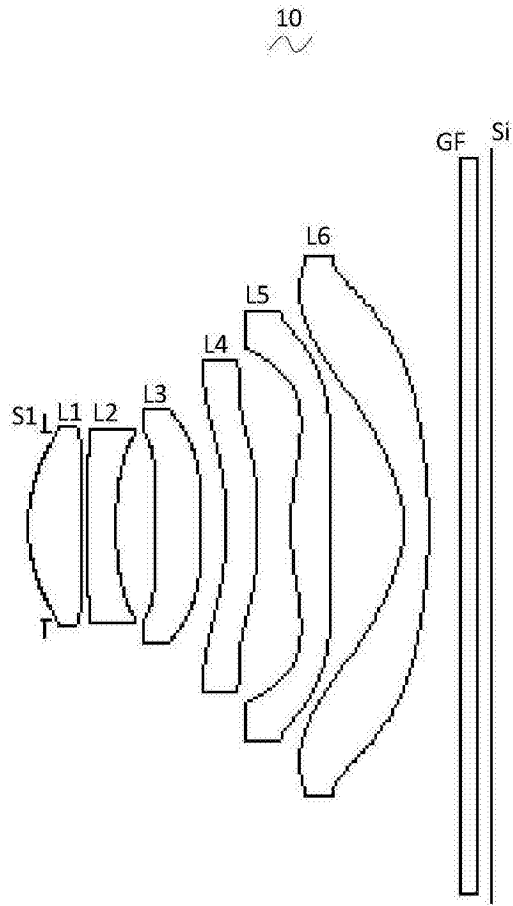


图1

轴向像差

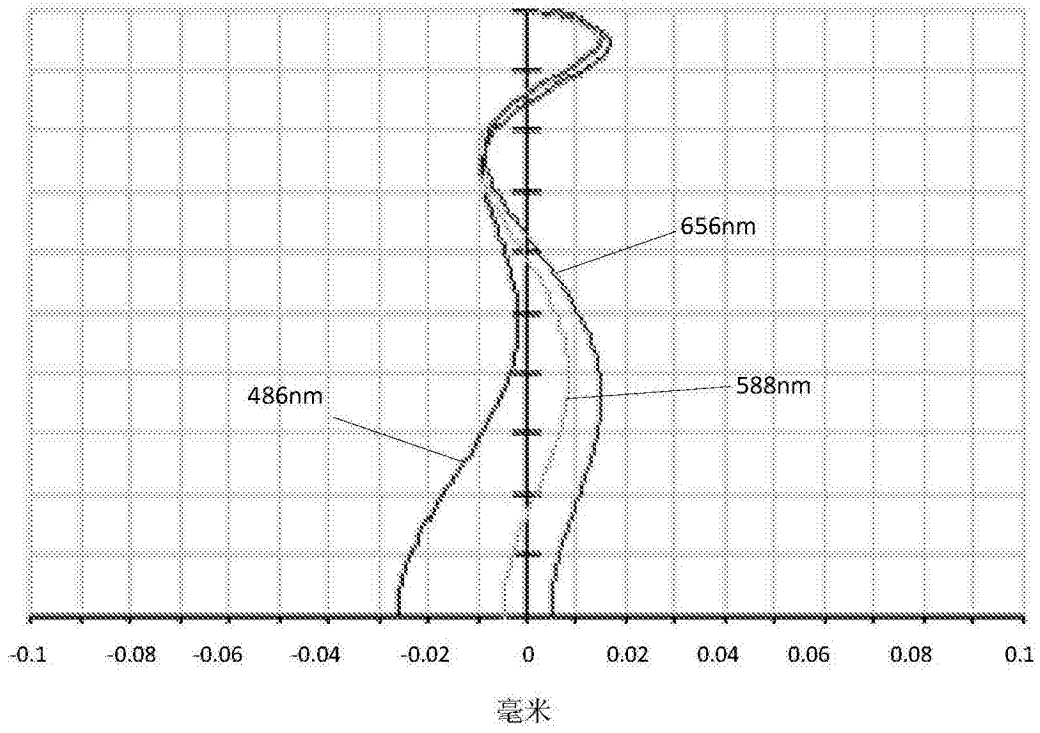


图2

倍率色差

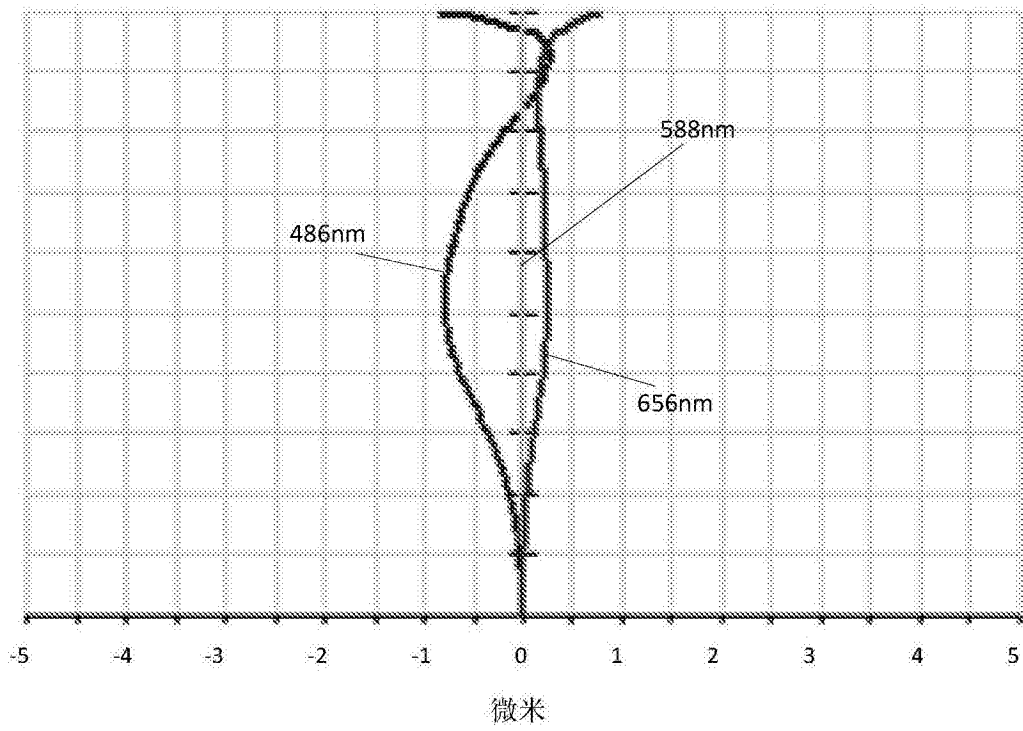


图3

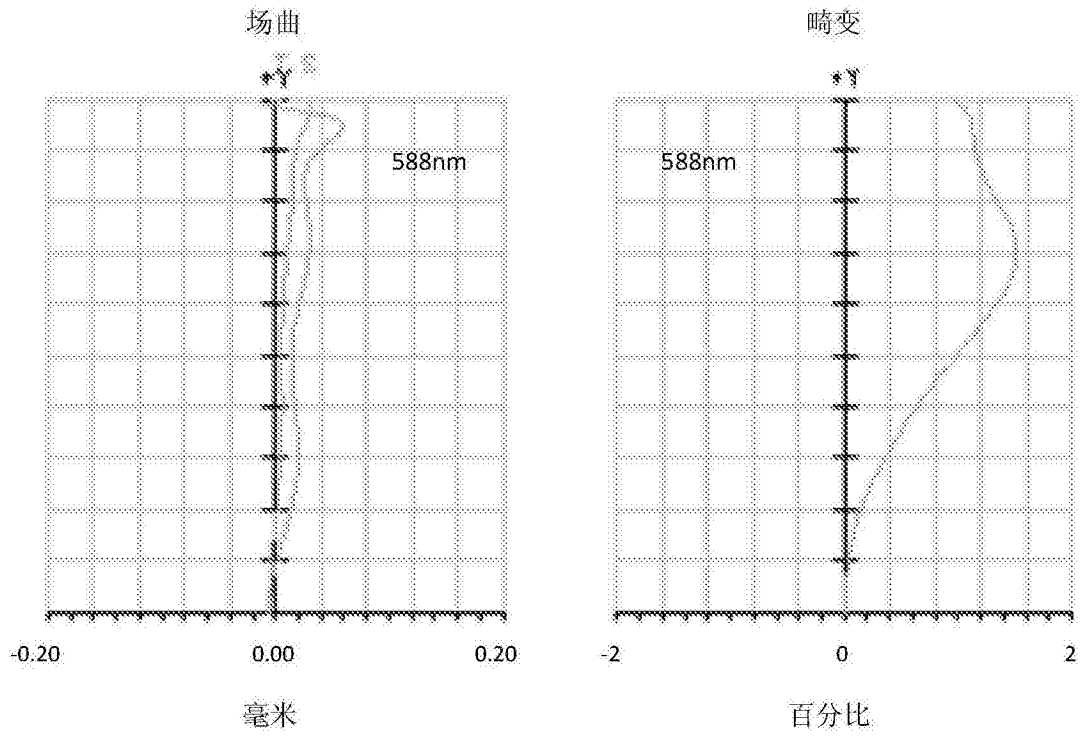


图4

20

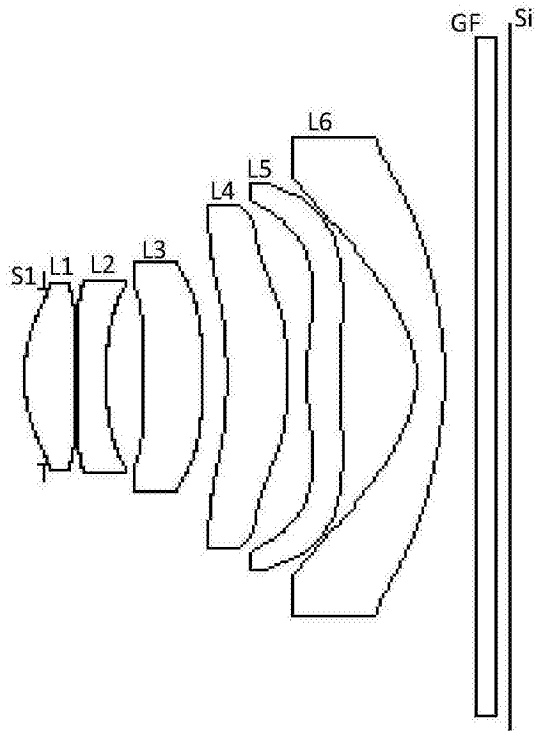


图5

轴向像差

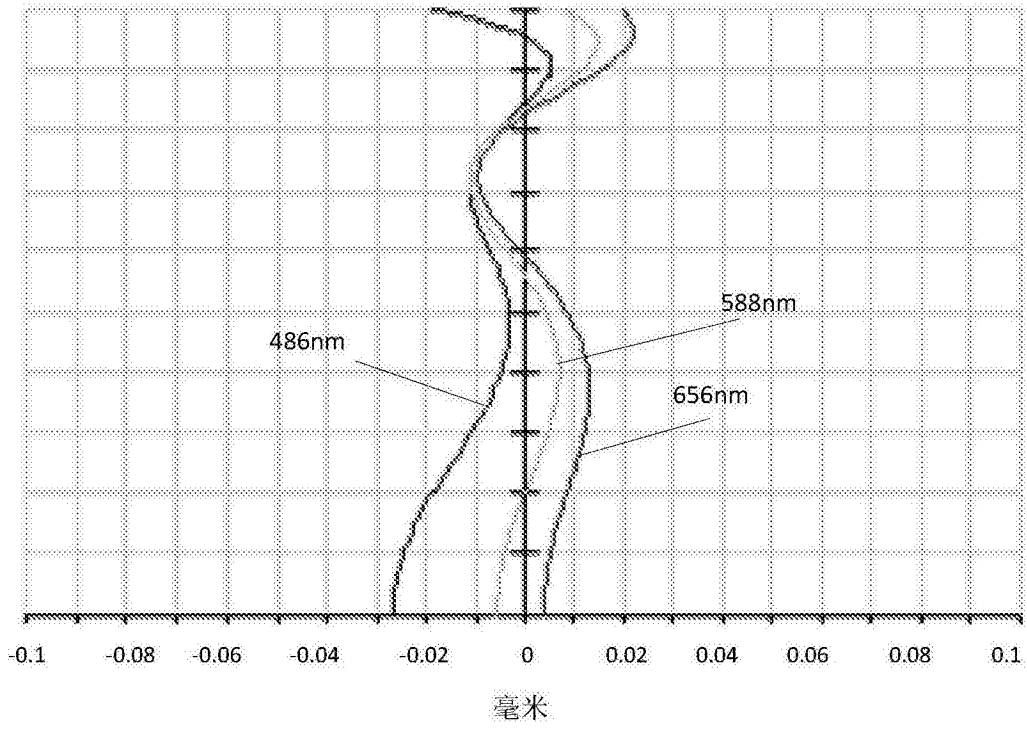


图6

倍率色差

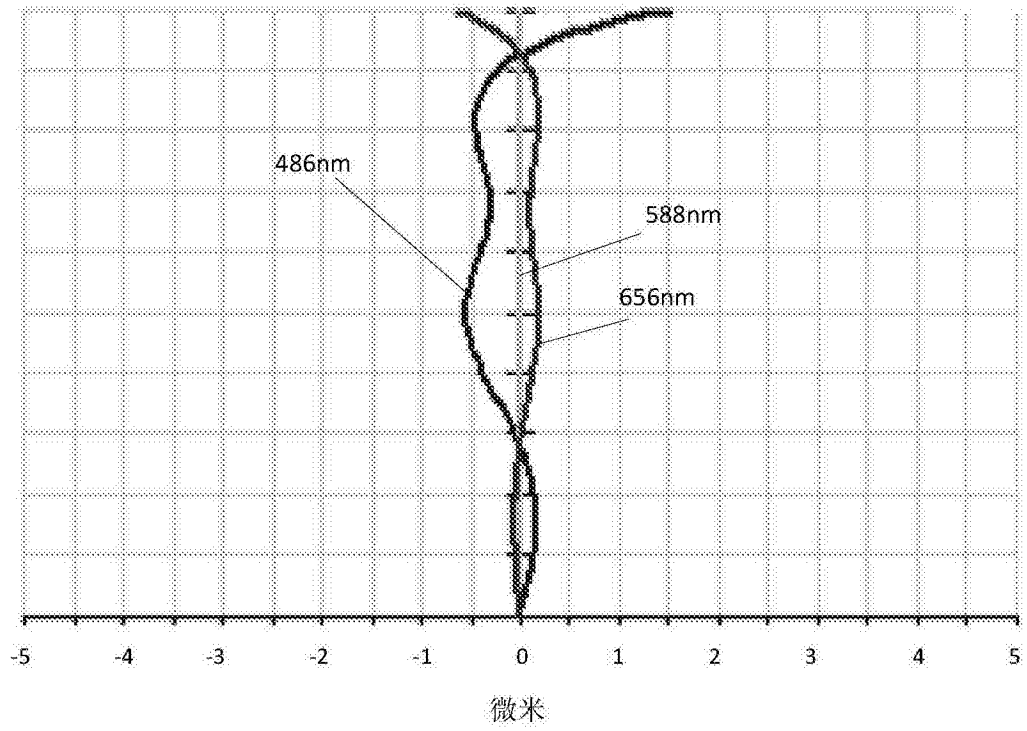


图7

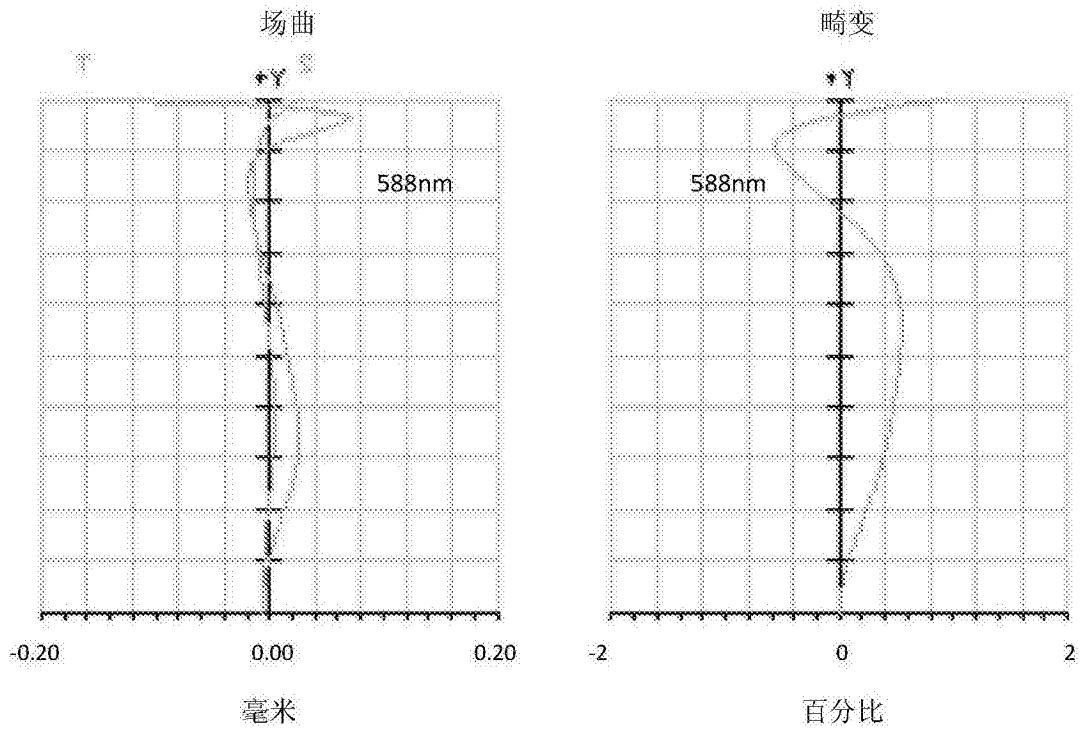


图8



30

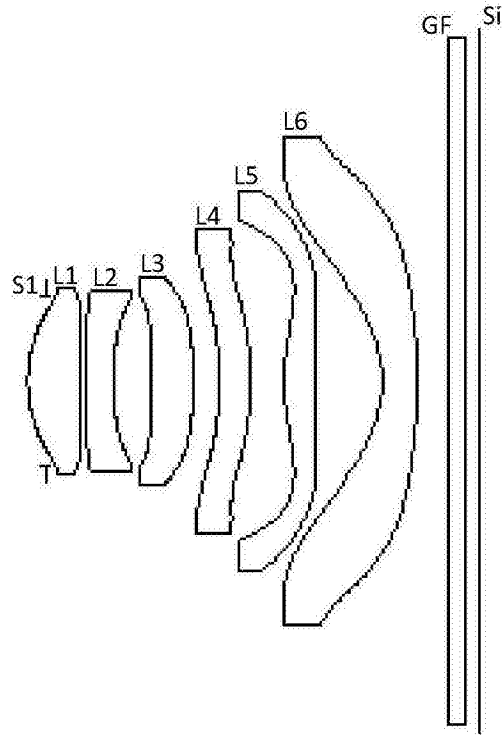


图9

轴向像差

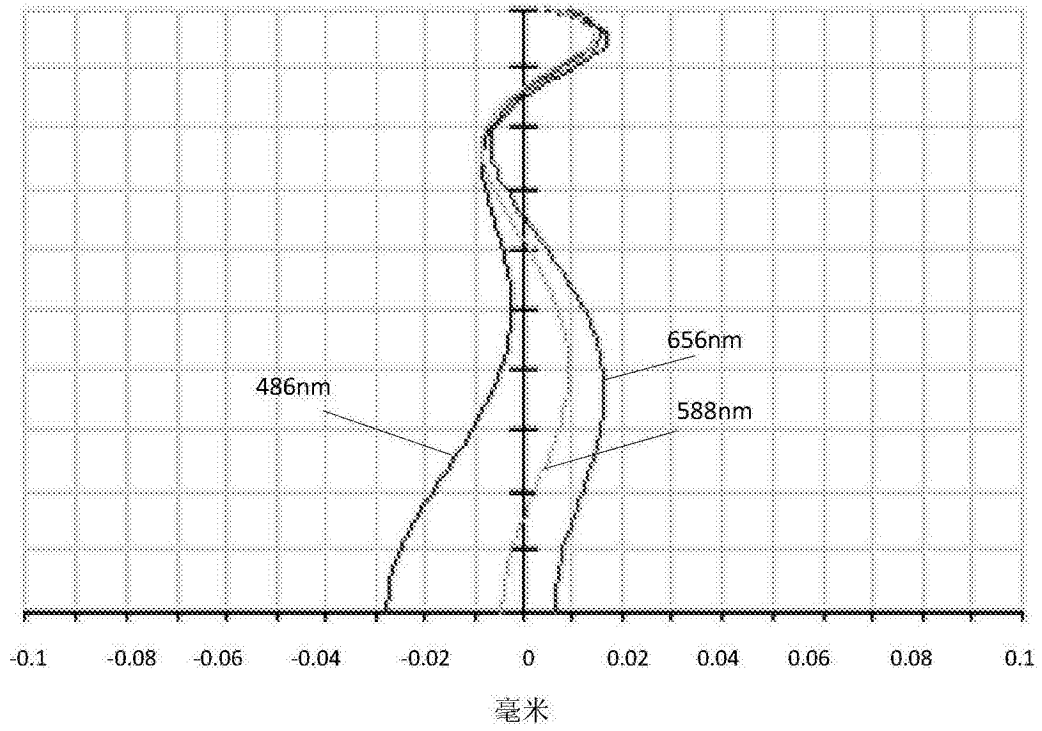


图10

倍率色差

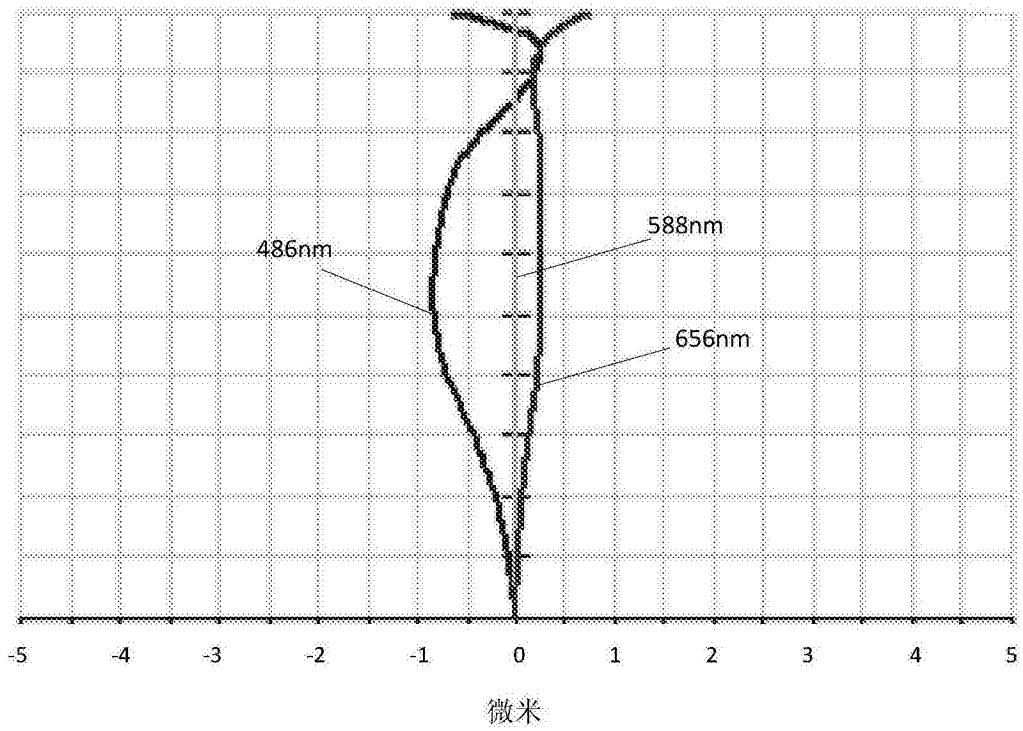


图11

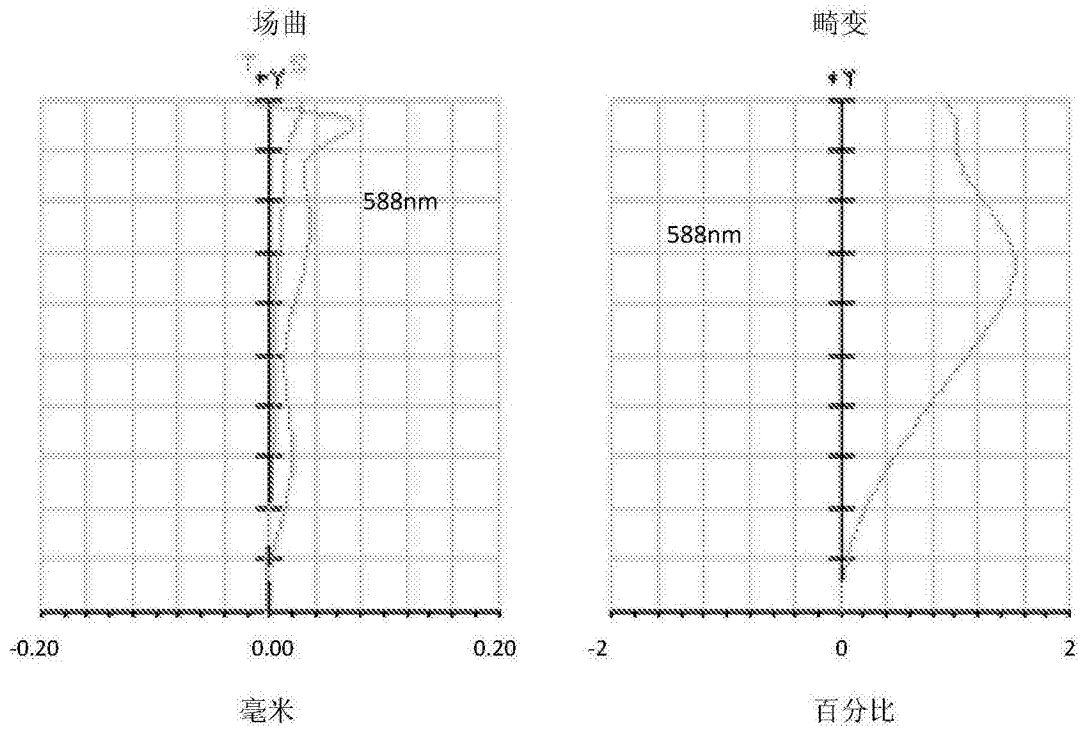


图12